

УДК 533.95

## НЕЛИНЕЙНОЕ ПОГЛОЩЕНИЕ АЛЬФВЕНОВСКОЙ ВОЛНЫ ДИССИПАТИВНОЙ ПЛАЗМОЙ

М.Б. Гавриков<sup>1,2</sup>, А.А. Таюрский<sup>2</sup>

<sup>1</sup>МГТУ им. Н.Э. Баумана, Москва

e-mail: nadya\_p@cognitive.ru;

<sup>2</sup>ИПМ им. М.В. Келдыша РАН

e-mail: tayurskiy2001@mail.ru

*Предложен метод исследования поглощения альфвеновской волны, бегущей в однородной неизотермической плазме вдоль постоянного магнитного поля, и релаксации температур электронов и ионов в волне. Поглощение A-волны плазмой обусловлено диссипативными эффектами — магнитной и гидродинамическими вязкостями электронов и ионов и их упругим взаимодействием. Метод основан на точном решении уравнений двухжидкостной электромагнитной гидродинамики плазмы, которые на A-волне, как показано в работе, редуцируются к нелинейной системе обыкновенных дифференциальных уравнений.*

**Ключевые слова:** классическая МГД, электромагнитная гидродинамика (ЭМГД), поглощение волны, релаксация температур.

## NONLINEAR ABSORPTION OF ALFVEN WAVE IN DISSIPATIVE PLASMA

M.B. Gavrikov<sup>1,2</sup>, A.A. Tayurskiy<sup>2</sup>

<sup>1</sup>Bauman Moscow State Technical University, Moscow

e-mail: nadya\_p@cognitive.ru;

<sup>2</sup>Keldysh Institute of Applied Mathematics, Russian Academy of Sciences, Moscow

e-mail: tayurskiy2001@mail.ru

*A method is proposed for studying the absorption of an Alfvén wave, traveling in a homogeneous nonisothermal plasma along a constant magnetic field, and the relaxation of the electron and ion temperatures in the A-wave. The absorption of A-wave by the plasma is caused by dissipative effects — magnetic and hydrodynamic viscosities of electrons and ions and their elastic interaction. The method is based on exact solving of equations of two-fluid electromagnetic hydrodynamics of plasma, which for A-wave, as shown in the work, are reduced to a nonlinear system of ordinary differential equations.*

**Keywords:** classic MHD, electromagnetic hydrodynamics (EMHD), wave absorption, temperature relaxation.

Как известно, в звуковой волне в газе возмущаются только продольная компонента скорости и термодинамические параметры. В плазме возможны волны малой амплитуды, в которых, наоборот, возмущаются только поперечные компоненты скорости, магнитного и электрического полей, а продольные и термодинамические параметры неизменные. Эти волны можно, самое большее, увидеть, но нельзя услышать.

Такие волны были открыты Х. Альфвенем в 1942 г. [1] и получили название альфвеновских. Позднее оказалось, что альфвеновские волны, полученные первоначально как решение акустического приближения уравнений классической магнитной гидродинамики (МГД), являются точным решением МГД-уравнений [2], что исключительно важно для их изучения.

Ниже приведены результаты исследования временного затухания плоской поперечной волны в двухжидкостной однородной плазме (в работе называемой альфвеновской), обусловленного диссипативными эффектами — проводимостью плазмы и гидродинамическими вязкостями электронов и ионов, и связанного с ним процесса релаксации температур электронов и ионов в альфвеновской волне. Проведенное исследование основано не на линеаризованных уравнениях, как это обычно принято, а на точных законах сохранения массы, энергии, импульса для электронов и ионов и уравнениях электродинамики Максвелла (ЭМГД-уравнения). Сопоставление полученных результатов с данными линейной теории показывает, что последняя грубо искажает процессы затухания и релаксации. Плазма предполагается квазинейтральной, полностью ионизованной, электромагнитное поле — квазистационарным.

**ЭМГД-уравнения.** Для исследования динамики двухжидкостной плазмы воспользуемся уравнениями Брагинского [3], составленными из двух — для электронов и ионов — комплектов гидродинамических уравнений. Для квазинейтральной плазмы уравнения Брагинского замыкаются усеченной системой уравнений электродинамики Максвелла для квазистационарного электромагнитного поля. Весьма важно, что полученная замкнутая система уравнений динамики двухжидкостной плазмы с полным учетом инерции электронов может быть редуцирована [4, 5] без потери математического и физического содержания к одножидкостной гидродинамической системе уравнений электромагнитной гидродинамики (ЭМГД)

$$\frac{\partial \rho}{\partial t} + \operatorname{div} \rho \mathbf{U} = 0, \quad \frac{\partial \rho \mathbf{U}}{\partial t} + \operatorname{Div} \Pi = \operatorname{Div} \mathbf{P};$$

$$\begin{aligned} \frac{\partial T_{\pm}}{\partial t} + \mathbf{U} \cdot \nabla T_{\pm} + T_{\pm}(\gamma - 1) \operatorname{div} \mathbf{U} \pm \lambda_{\mp} \rho^{\gamma-2} \mathbf{j} \cdot \nabla \left( \frac{T_{\pm}}{\rho^{\gamma-1}} \right) = \\ = \frac{\lambda_{\Sigma} e_{\pm} (\gamma - 1)}{k \rho} \left\{ \operatorname{div} (\chi_{\pm} \nabla T_{\pm}) + \operatorname{tr} (\Pi_{\pm} D_{\pm}) + \frac{m_{\mp} j^2}{m_{\Sigma} \sigma} \pm b(T_{-} - T_{+}) \right\}; \end{aligned} \quad (1)$$

$$\frac{1}{c} \frac{\partial \mathbf{H}}{\partial t} + \operatorname{rot} \mathbf{E} = 0, \quad \operatorname{div} \mathbf{H} = 0, \quad \mathbf{j} = \frac{c}{4\pi} \operatorname{rot} \mathbf{H};$$

$$\mathbf{E} + \frac{c^2 \lambda_{+} \lambda_{-}}{4\pi \rho} \operatorname{rot} \operatorname{rot} \mathbf{E} = \frac{\mathbf{j}}{\sigma} - \frac{1}{c} [\mathbf{U}, \mathbf{H}] + \frac{1}{\rho} \operatorname{Div} \mathbf{W},$$

где тензоры потока импульса ( $\Pi$ ), вязких напряжений ( $P$ ) и “холловских слагаемых” ( $W$ ) имеют вид

$$\Pi = \Pi^h + \Pi^p + \Pi^c, \quad P = \Pi_*^c + \Pi^U;$$

$$W = (\lambda_- - \lambda_+)(\Pi^p + \Pi^c) + (\lambda_- p_+ - \lambda_+ p_-)I_3 + \lambda_+ \lambda_- (jU + Uj) - \Pi_*^U - \Pi^c;$$

$$\Pi^h = \rho \mathbf{U} \mathbf{U} + p_\Sigma I_3, \quad \Pi^p = \frac{H^2}{8\pi} I_3 - \frac{\mathbf{H} \mathbf{H}}{4\pi}, \quad \Pi^c = \lambda_+ \lambda_- \frac{\mathbf{j} \mathbf{j}}{\rho}.$$

Здесь и далее индексы  $\pm$  относятся к параметрам электронов и ионов;  $\lambda_\pm = m_\pm/e_\pm$ ;  $\lambda_\Sigma = \lambda_+ + \lambda_-$ ;  $p_\Sigma = p_+ + p_-$ ;  $m_\Sigma = m_+ + m_-$ ;  $\rho = \rho_+ + \rho_-$ ;  $\mathbf{U} = (\rho_+ \mathbf{v}_+ + \rho_- \mathbf{v}_-)/\rho$ ;  $I_3$  — единичный трехмерный тензор;  $k$  — постоянная Больцмана;  $\sigma$  — проводимость плазмы;  $\chi_\pm$  — теплопроводности электронов и ионов. Электроны и ионы для простоты считаются идеальными политропными газами с общим показателем адиабаты  $\gamma$ . Тензоры вязких напряжений, учитывая равенство нулю вторых вязкостей электронов и ионов [2], имеют вид

$$\Pi^U = 2\mu_\Sigma D^U - \frac{2}{3}\mu_\Sigma \text{tr} D^U I_3, \quad \Pi^c = 2\mu^* D^c - \frac{2}{3}\mu^* \text{tr} D^c I_3;$$

$$\Pi_*^U = 2\mu_* D^U - \frac{2}{3}\mu_* \text{tr} D^U I_3, \quad \Pi_*^c = 2\mu_* D^c - \frac{2}{3}\mu_* \text{tr} D^c I_3;$$

$$\Pi_\pm = 2\mu_\pm D_\pm - \frac{2}{3}\mu_\pm \text{tr} D_\pm I_3,$$

где  $D^U = \text{def } \mathbf{U}$ ,  $D^c = \text{def}(\mathbf{j}/\rho)$ ,  $D_\pm = \text{def } \mathbf{v}_\pm$  — тензоры деформаций;  $\mu_\Sigma = \mu_+ + \mu_-$ ;  $\mu_* = \lambda_- \mu_+ - \lambda_+ \mu_-$ ;  $\mu^* = \lambda_-^2 \mu_+ + \lambda_+^2 \mu_-$ ;  $\mu_\pm$  — гидродинамические вязкости электронов и ионов.

По найденному решению системы (1) гидродинамические параметры электронов и ионов выражаются через  $\rho$ ,  $\mathbf{U}$ ,  $\mathbf{j}$  по формулам

$$\mathbf{v}_\pm = \mathbf{U} \pm \frac{\lambda_\mp}{\rho} \mathbf{j}, \quad \rho_\pm = \frac{\lambda_\pm}{\lambda_\Sigma} \rho.$$

Уравнения ЭМГД (1) отличаются от уравнений классической МГД несколькими принципиальными слагаемыми, в особенности значительно более сложной формой обобщенного закона Ома, согласно которому для нахождения электрического поля  $\mathbf{E}$  в плазме необходимо решить краевую задачу для некоторой эллиптической системы уравнений на компоненты поля  $\mathbf{E}$ . Тем самым в ЭМГД кардинально меняется характер зависимости электрического поля  $\mathbf{E}$  от остальных параметров плазмы, что предопределяет возникновение сильной пространственной дисперсии и ряда других важных эффектов.

Уравнения классической МГД являются предельным случаем ЭМГД-уравнений (1), когда характерное погонное число частиц плазмы неограниченно увеличивается или, иначе, когда  $L \gg c/\omega_p$ , где  $L$  —

характерный масштаб длины,  $\omega_p = \sqrt{4\pi\rho/(\lambda_+\lambda_-)}$  — характерная плазменная частота,  $c/\omega_p$  — скин-длина. Формально МГД-уравнения являются нулевыми, а уравнения холловской МГД — первым по параметру  $c/(\omega_p L) \ll 1$  приближениями ЭМГД-уравнений. Мнемоническое правило для получения из системы (1) уравнений классической МГД состоит в вычеркивании из уравнений системы (1) всех слагаемых, в которых  $\rho$  входит в знаменатель. При этом уравнения энергий надо записать относительно давлений  $p_{\pm}$ . В то же время ЭМГД-систему можно рассматривать как весьма продвинутое форму уравнений ЭМГД, свободную от проблем ЭМГД-теории, связанных с законами сохранения и самосогласованностью уравнений.

Решение ЭМГД-уравнений (1) удовлетворяет закону сохранения полной энергии [4]:

$$\frac{\partial}{\partial t} \left[ \rho \left( \frac{U^2}{2} + \varepsilon + \frac{\lambda_+\lambda_-j^2}{2\rho^2} \right) + \frac{H^2}{8\pi} \right] + \operatorname{div} \left[ \rho \mathbf{U} \left( \frac{U^2}{2} + \varepsilon + \frac{p_{\Sigma}}{\rho} + \frac{\lambda_+\lambda_-j^2}{2\rho^2} \right) + \frac{c}{4\pi} [\mathbf{E}, \mathbf{H}] + A \mathbf{j} \right] = \operatorname{div} \{ \chi_+ \nabla T_+ + \chi_- \nabla T_- + \Pi_+ \mathbf{v}_+ + \Pi_- \mathbf{v}_- \}, \quad (2)$$

где  $\varepsilon = (\lambda_+\varepsilon_+ + \lambda_-\varepsilon_-)/\lambda_{\Sigma}$  — объемная плотность внутренней энергии плазмы;

$$A = \lambda_+\lambda_- \frac{\langle \mathbf{U}, \mathbf{j} \rangle}{\rho} + \lambda_+\lambda_- \frac{(\lambda_- - \lambda_+)j^2}{2\rho^2} + \frac{\lambda_+\lambda_-}{\lambda_{\Sigma}} (\varepsilon_+ - \varepsilon_-) + \frac{\lambda_-p_+ - \lambda_+p_-}{\rho}.$$

В случае идеальных политропных электронов и ионов  $\varepsilon = (\gamma - 1)^{-1} p/\rho$ ,

$$A = \lambda_+\lambda_- \frac{\langle \mathbf{U}, \mathbf{j} \rangle}{\rho} + \lambda_+\lambda_- \frac{(\lambda_- - \lambda_+)j^2}{2\rho^2} + \frac{\gamma}{\gamma - 1} \frac{\lambda_-p_+ - \lambda_+p_-}{\rho}.$$

Коэффициенты переноса  $\mu_{\pm}$ ,  $\chi_{\pm}$ ,  $\sigma$ ,  $b$  получают приближенным решением кинетических уравнений [3] и далее принимаются в виде [6–9]

$$\mu_+ = 0,96 \frac{3m_i^{1/2} T_+^{5/2}}{4\pi^{1/2} e^4 Z^4 L}; \quad \mu_- = 0,733 \frac{3m_e^{1/2} T_-^{5/2}}{4(2\pi)^{1/2} e^4 Z L};$$

$$\sigma = \frac{3T_-^{3/2}}{4(2\pi m_e)^{1/2} e^2 Z L 0,5129}; \quad b = \frac{5m_e^{1/2} e^4 Z^3 \rho^2 L}{m_i^3 k^{1/2} T_-^{3/2}}, \quad (3)$$

где  $Z$  — кратность заряда ионов;  $e_+ = Ze$ ;  $e_- = e$ ;  $e$  — заряд электрона;  $L$  — кулоновский логарифм (далее  $L = 15$ ); температуры  $T_{\pm}$  измеряются в кельвинах.

В системе (1) для простоты не учтены термосила и анизотропия замагниченной плазмы [3]. Кроме того, выражения для коэффициентов переноса — теоретические и периодически корректируются.

**Альфвеновские волны в ЭМГД.** Плоская альфвеновская волна является решением ЭМГД-уравнений (1) в бездиссипативном случае

( $\mu_{\pm} = 0, b = 0, \chi_{\pm} = 0, \sigma = +\infty$ ) в предположении плоской симметрии ( $\partial/\partial y = \partial/\partial z = 0$ ). С учетом диссипаций плоские течения двухжидкостной ЭМГД-плазмы подчиняются уравнениям

$$\frac{\partial \rho}{\partial t} + \frac{\partial}{\partial x}(\rho U_x) = 0;$$

$$\begin{aligned} \frac{\partial \rho U_x}{\partial t} + \frac{\partial}{\partial x} \left( \rho U_x^2 + p_{\Sigma} + \frac{|H_{\perp}|^2}{8\pi} \right) = \\ = \frac{\partial}{\partial x} \left( \frac{4}{3} \mu_{\Sigma} \frac{\partial U_x}{\partial x} \right), \quad p_{\Sigma} = \frac{k\rho}{\lambda_{\Sigma} e} \left( \frac{T_{+}}{Z} + T_{-} \right); \end{aligned}$$

$$\frac{\partial \rho U_{\perp}}{\partial t} + \frac{\partial}{\partial x} \left( \rho U_x U_{\perp} - \frac{H_x H_{\perp}}{4\pi} \right) = \frac{\partial}{\partial x} \left( \mu_{\Sigma} \frac{\partial U_{\perp}}{\partial x} + \mu_{*} \frac{\partial j_{\perp}}{\partial x} \right);$$

$$\begin{aligned} \frac{\partial T_{\pm}}{\partial t} + U_x \frac{\partial T_{\pm}}{\partial x} + (\gamma - 1) T_{\pm} \frac{\partial U_x}{\partial x} = \\ = \frac{Z_{\pm} \lambda_{\Sigma} e (\gamma - 1)}{k\rho} \left\{ \frac{\partial}{\partial x} \left( \chi_{\pm} \frac{\partial T_{\pm}}{\partial x} \right) + \frac{m_{\mp} |j_{\perp}|^2}{m_{\Sigma} \sigma} \pm b(T_{-} - T_{+}) + \right. \\ \left. + \mu_{\pm} \left[ \frac{4}{3} \left( \frac{\partial U_x}{\partial x} \right)^2 + \lambda_{\mp}^2 \left| \frac{\partial j_{\perp}}{\partial x} \frac{j_{\perp}}{\rho} \right|^2 \pm 2\lambda_{\mp} \operatorname{Re} \left( \frac{\partial U_{\perp}}{\partial x} \frac{\partial \overline{j_{\perp}}}{\partial x} \right) + \left| \frac{\partial U_{\perp}}{\partial x} \right|^2 \right] \right\}; \end{aligned} \quad (4)$$

$$\frac{1}{c} \frac{\partial H_{\perp}}{\partial t} + i \frac{\partial E_{\perp}}{\partial x} = 0, \quad j_{\perp} = \frac{ic}{4\pi} \frac{\partial H_{\perp}}{\partial x}, \quad H_x = \text{const};$$

$$\begin{aligned} E_{\perp} - \frac{c^2 \lambda_{+} \lambda_{-}}{4\pi\rho} \frac{\partial^2 E_{\perp}}{\partial x^2} = \frac{j_{\perp}}{\sigma} + \frac{iH_x}{c} U_{\perp} - \frac{i}{c} U_x H_{\perp} + \\ + \frac{1}{\rho} \frac{\partial}{\partial x} \left[ (\lambda_{+} - \lambda_{-}) \frac{H_x H_{\perp}}{4\pi} - \mu_{*} \frac{\partial U_{\perp}}{\partial x} - \mu_{*} \frac{\partial j_{\perp}}{\partial x} \frac{j_{\perp}}{\rho} \right]; \end{aligned}$$

$$E_x = -\frac{1}{c} \operatorname{Im}(\bar{U}_{\perp} H_{\perp}) + \frac{1}{\rho} \frac{\partial}{\partial x} (\lambda_{-} p_{+} - \lambda_{+} p_{-}) + \frac{1}{\rho} \frac{\partial}{\partial x} \frac{|H_{\perp}|^2}{8\pi} - \frac{4}{3} \frac{\partial}{\partial x} \left( \mu_{*} \frac{\partial U_x}{\partial x} \right).$$

Здесь использованы комплексные обозначения для поперечных величин ( $U_{\perp} = U_y + iU_z; H_{\perp} = H_y + iH_z; E_{\perp} = E_y + iE_z; j_{\perp} = j_y + ij_z; Z_{+} = Z; Z_{-} = 1$ ); черта означает комплексное сопряжение; Re, Im — вещественная и мнимая части комплексного числа.

Система (4) в бездиссипативном случае допускает частные решения, называемые плоскими альфвеновскими волнами, вида

$$\begin{aligned} U_{\perp} = u(t)e^{i\kappa x}, \quad H_{\perp} = h(t)e^{i\kappa x}, \quad E_{\perp} = e(t)e^{i\kappa x}, \\ T_{\pm} = \text{const}, \quad \rho = \text{const}, \quad U_x = 0, \end{aligned} \quad (5)$$

где комплексные функции  $u(t)$ ,  $h(t)$ ,  $e(t)$  удовлетворяют линейной системе ОДУ с постоянными коэффициентами, получающейся подстановкой (5) в (4):

$$\begin{aligned} \frac{du}{dt} &= \frac{i\kappa H_x}{4\pi\rho} h; & \frac{1}{c} \frac{dh}{dt} &= \kappa e; \\ e &= \left( \frac{iH_x}{c} u + \frac{i\kappa\Lambda v_A}{\omega_p} h \right) / \left( 1 + \left( \frac{\kappa c}{\omega_p} \right)^2 \right). \end{aligned} \quad (6)$$

Здесь  $\Lambda = \sqrt{\lambda_+/\lambda_-} - \sqrt{\lambda_-/\lambda_+}$ ,  $v_A = H_x/\sqrt{4\pi\rho}$  – альфвеновская скорость;  $\omega_p = \sqrt{4\pi\rho/(\lambda_+\lambda_-)}$  – плазменная частота. Решение системы (6) имеет вид

$$u(t) = C_1 e^{i\omega_+ t} + C_2 e^{i\omega_- t};$$

$$h(t) = \frac{(4\pi\rho)^{1/2}}{\kappa v_A} \{ C_1 \omega_+ e^{i\omega_+ t} + C_2 \omega_- e^{i\omega_- t} \}; \quad (7)$$

$$\begin{aligned} e(t) &= \frac{i}{1+r^2} \left\{ \left( \frac{H_x}{c} + \Lambda\sqrt{\lambda_+\lambda_-}\omega_+ \right) C_1 e^{i\omega_+ t} + \right. \\ &\quad \left. + \left( \frac{H_x}{c} + \Lambda\sqrt{\lambda_+\lambda_-}\omega_- \right) C_2 e^{i\omega_- t} \right\}; \\ j(t) &= -\frac{\kappa c}{4\pi} h(t), \end{aligned}$$

где  $C_1, C_2$  – произвольные комплексные константы, а частоты  $\omega_{\pm}$  вычисляются по формуле

$$\omega_{\pm} = \frac{\kappa v_A}{2} \left\{ \frac{r\Lambda}{1+r^2} \pm \left[ \frac{r^2\Lambda^2}{(1+r^2)^2} + \frac{4}{1+r^2} \right]^{1/2} \right\}, \quad r = \frac{\kappa c}{\omega_p}. \quad (8)$$

Подставляя (7) в (5), заключаем что плоские альфвеновские волны суть поперечные колебания однородной неподвижной плазмы, являющиеся суперпозицией синусоидальных бегущих вдоль и против магнитного поля волн с фазовыми скоростями  $-\omega_{\pm}(\kappa)/\kappa$ , зависящими от длины волны  $\ell = 2\pi/\kappa$ . Из (8) следует, что волна, бегущая против магнитного поля, имеет большую по абсолютной величине фазовую скорость. В МГД-пределе  $r \ll 1$  имеем  $\omega_{\pm}(\kappa) \sim \pm\kappa v_A$  и полученное решение переходит в классическую альфвеновскую волну [2]. В коротковолновом пределе  $r \gg 1$  имеем  $\omega_{\pm} \cong \pm\omega_c^{\mp}$ , где  $\omega_c^{\pm} = H_x/(\lambda_{\pm}c)$  – циклотронные частоты; в частности, с уменьшением длины волны фазовые скорости альфвеновских бегущих волн стремятся к нулю с асимптотикой  $\sim \mp\omega_c^{\mp}/\kappa$ ,  $\kappa \rightarrow +\infty$ .

На альфвеновской волне (5) условие квазинейтральности

$$\operatorname{div} \mathbf{E} = \partial E_x / \partial x \equiv 0$$

выполнено точно.

Таким образом, в двухжидкостной квазинейтральной плазме так же, как и в одножидкостной, имеют место поперечные колебания плазменной среды, рассматриваемые в работе как обобщенные альфвеновские волны, которые в МГД-пределе  $r \ll 1$  переходят в классические альфвеновские волны.

**Преобразование энергии в альфвеновской волне.** Рассмотрим преобразование в плазме друг в друга различных видов энергии с объемной плотностью:  $\varepsilon_m = H^2/8\pi$  — энергии магнитного поля;  $\varepsilon_{kin}^\pm = \rho_\pm \mathbf{v}_\pm^2/2$  — кинетической энергии электронов и ионов;  $\varepsilon_\pm = k\rho_\pm T_\pm / (m_\pm(\gamma - 1))$  — тепловой энергии электронов и ионов;  $\varepsilon_{kin} = \rho U^2/2$  — кинетической энергии плазмы, движущейся как единое целое;  $\varepsilon_{el} = \lambda_+ \lambda_- j^2 / (2\rho) = (1 + Zm_-/m_+)^{-1} \rho_- (\mathbf{v}_+ - \mathbf{v}_-)^2/2$  — с точностью до членов  $\sim m_-/m_+$  кинетической энергии относительного движения электронов. Отметим, что  $\varepsilon_{kin}^+ + \varepsilon_{kin}^- = \varepsilon_{kin} + \varepsilon_{el}$ . Поэтому полная энергия плазмы определяется объемной плотностью  $\varepsilon = \varepsilon_m + \varepsilon_{kin} + \varepsilon_{el} + \varepsilon_+ + \varepsilon_-$ .

Для альфвеновской волны (5)  $\varepsilon_\pm = \text{const}$ ,  $\varepsilon_m = |h(t)|^2/8\pi$ ,  $\varepsilon_{kin} = \rho |u(t)|^2/2$ ,  $\varepsilon_{el} = r^2 \varepsilon_m$  — функции только времени и из закона сохранения полной энергии (2) следует  $\varepsilon_m + \varepsilon_{kin} + \varepsilon_{el} = \text{const}$ . С течением времени происходит двусторонний обмен кинетической энергии  $\varepsilon_{kin}$  с энергией магнитного поля  $\varepsilon_m$  и кинетической энергией относительного движения электронов  $\varepsilon_{el}$ :  $\varepsilon_{kin} \leftrightarrow \varepsilon_m + \varepsilon_{el}$ .

Пусть в (7)  $C_1 = R_1 e^{i\varphi}$ ,  $C_2 = R_2 e^{i\psi}$ ,  $|C_1| = R_1$ ,  $|C_2| = R_2$ . Тогда прямой расчет по формулам (7) дает

$$\varepsilon_{kin} = \frac{\rho}{2} \{ R_1^2 + R_2^2 + 2R_1 R_2 \cos[(\omega_+ - \omega_-)t + \varphi - \psi] \};$$

$$\varepsilon_m = \frac{\rho}{2} \left\{ \frac{\omega_+^2 R_1^2 + \omega_-^2 R_2^2}{\kappa^2 v_A^2} - \frac{2R_1 R_2}{1 + r^2} \cos[(\omega_+ - \omega_-)t + \varphi - \psi] \right\}.$$

Значит,  $\varepsilon_{kin}$  и  $\varepsilon_m$  (и тем более  $\varepsilon_{el} = r^2 \varepsilon_m$ ) совершают в противофазе гармонические колебания с частотой  $\omega_+ - \omega_-$  и амплитудами  $\rho R_1 R_2$ ,  $\rho R_1 R_2 / (1 + r^2)$  соответственно вокруг значений  $\rho(R_1^2 + R_2^2)/2$ ,  $\rho(\omega_+^2 R_1^2 + \omega_-^2 R_2^2) / (2\kappa^2 v_A^2)$ . Относительные амплитуды колебаний  $\varepsilon_{kin}$  и  $\varepsilon_m$  равны  $2R_1 R_2 / (R_1^2 + R_2^2)$  и  $2R_1 R_2 \omega_+ |\omega_-| / (R_1^2 \omega_+^2 + R_2^2 \omega_-^2)$  соответственно.

Интенсивность обмена энергией определяется частотой  $\omega_+ - \omega_-$ , которая в МГД-пределе  $r \ll 1$  равна  $\cong 2r \sqrt{\omega_c^+ \omega_c^-} \ll 2 \sqrt{\omega_c^+ \omega_c^-}$ , а в

коротковолновом пределе  $r \gg 1$  составляет  $\cong \omega_c^-$ . В частности, интенсивность обмена энергией  $\varepsilon_{kin}$  с  $\varepsilon_m$  и  $\varepsilon_{el}$  для коротких альфвеновских волн, как минимум, на два порядка выше, чем для длинных. При  $R_1 = 0$  или  $R_2 = 0$ , т.е. когда альфвеновская волна распространяется только вдоль или только против магнитного поля, амплитуды колебаний обращаются в нуль, и обмен энергией отсутствует:  $\varepsilon_m = \text{const}$ ,  $\varepsilon_{kin} = \text{const}$ ,  $\varepsilon_{el} = \text{const}$ .

В МГД-теории  $\varepsilon_{el} \ll \varepsilon_m$  и закон сохранения полной энергии принимает вид  $\varepsilon_{kin} + \varepsilon_m = \text{const}$ , но для конечных  $r$  опущенное слагаемое  $\varepsilon_{el}$  существенно меняет баланс полной энергии, что не учитывается в теории МГД.

**Временное затухание альфвеновских волн.** Альфвеновская волна (5) может рассматриваться как решение задачи Коши на прямой для системы (4) с нулевыми диссипациями и начальными условиями вида

$$\begin{aligned} U_{\perp}|_{t=0} &= u_0 e^{i\kappa x}, \quad H_{\perp}|_{t=0} = h_0 e^{i\kappa x}, \\ E_{\perp}|_{t=0} &= e_0 e^{i\kappa x}, \quad T_{\pm}|_{t=0} = T_{\pm}^0 = \text{const}, \quad U_x|_{t=0} = 0; \\ \rho|_{t=0} &= \text{const}. \end{aligned} \quad (9)$$

Константы  $C_1, C_2, T_{\pm}$  из (5), (7) и  $e_0$  связаны с константами  $u_0, h_0 \in \mathbb{C}$ ,  $T_{\pm}^0 > 0$  соотношениями

$$\begin{aligned} C_1 &= \left( \frac{\kappa v_A}{\sqrt{4\pi\rho}} h_0 - \omega_- u_0 \right) (\omega_+ - \omega_-)^{-1}; \\ C_2 &= \left( \frac{\kappa v_A}{\sqrt{4\pi\rho}} h_0 - \omega_+ u_0 \right) (\omega_- - \omega_+)^{-1}; \\ e &= i \left( \frac{H_x}{c} u_0 + \frac{\kappa v_A}{\omega_p} \Lambda h_0 \right) / (1 + r^2)^{-1}, \quad T_{\pm} = T_{\pm}^0. \end{aligned}$$

Тогда временное затухание альфвеновской волны (5), очевидно, задается решением задачи Коши на прямой для системы (4) с конечными диссипациями и теми же начальными условиями (9). Предполагая доказанной теорему единственности решения задачи Коши на прямой для системы (4), искомое решение легко найти в виде

$$\begin{aligned} U_{\perp} &= u(t) e^{i\kappa x}, \quad H_{\perp} = h(t) e^{i\kappa x}, \quad E_{\perp} = e(t) e^{i\kappa x}, \\ T_{\pm} &= T_{\pm}(t), \quad U_x \equiv 0, \quad \rho \equiv \text{const}, \end{aligned} \quad (10)$$

где комплексные функции  $u(t)$ ,  $h(t)$  и вещественные  $T_{\pm}(t)$  удовлетворяют нелинейной системе ОДУ, получающейся подстановкой функций (10) в систему (4):

$$\frac{du}{dt} = -\frac{\kappa^2 \mu_{\Sigma}}{\rho} u + \left( \frac{i\kappa H_x}{4\pi\rho} + \frac{c\kappa^3 \mu_{*}}{4\pi\rho^2} \right) h;$$



$$\frac{dh}{dt} = \frac{\kappa c}{1 + (\kappa c / \omega_p)^2} \left\{ \left( \frac{iH_x}{c} + \frac{\kappa^2 \mu_*}{\rho} \right) u + \left( -\frac{c\kappa}{4\pi\sigma} + \frac{i\kappa\Lambda v_A}{\omega_p} - \frac{c\kappa^3 \mu^*}{4\pi\rho^2} \right) h \right\}; \quad (11)$$

$$\frac{dT_{\pm}}{dt} = Z_{\pm} a_* \left\{ \mu_{\pm} \kappa^2 \left[ |u|^2 + \frac{c^2 \kappa^2 \lambda_{\mp}^2}{16\pi^2 \rho^2} |h|^2 \mp \frac{c\kappa \lambda_{\mp}}{4\pi\rho} (\bar{u}h + u\bar{h}) \right] + \frac{m_{\mp}}{m_{\Sigma}} \frac{c^2 \kappa^2}{16\pi^2 \sigma} |h|^2 \pm b(T_- - T_+) \right\}$$

с начальными условиями

$$u(0) = u_0, \quad h(0) = h_0, \quad T_{\pm}(0) = T_{\pm}^0. \quad (12)$$

Здесь  $a_* = \lambda_{\Sigma} e(\gamma - 1)/(k\rho)$ ,  $r = \kappa c / \omega_p$ . Комплексная амплитуда  $e(t)$  явно выражается через  $h(t)$ ,  $u(t)$ :

$$e(t) = \left\{ \left( \frac{iH_x}{c} + \frac{\kappa^2 \mu_*}{\rho} \right) u(t) + \left( -\frac{c\kappa}{4\pi\sigma} + \frac{i\kappa\Lambda v_A}{\omega_p} - \frac{c\kappa^3 \mu^*}{4\pi\rho^2} \right) h(t) \right\} / (1 + r^2).$$

Тем самым для исследования процесса временного затухания и релаксации температур электронов и ионов в альфвеновской волне не надо решать задачу Коши для системы (4) с начальным условием (9), а достаточно решить значительно более простую задачу Коши (11), (12) для системы ОДУ. Решение последней задачи упрощается, если учесть, что на решении (10) закон сохранения полной энергии (2) принимает вид

$$\frac{\rho |u(t)|^2}{2} + (1 + r^2) \frac{|h(t)|^2}{8\pi} + \frac{T_+(t)}{Z a_*} + \frac{T_-(t)}{a_*} = C_0 = \text{const} \quad (13)$$

и позволяет в системе (11) исключить  $T_+$  из числа неизвестных.

Из (11), (12) следует, что временное поглощение альфвеновских волн не зависит от теплопроводностей электронов и ионов, а условие квазинейтральности на решении (10) выполнено точно:  $\text{div}\mathbf{E} = \partial E_x / \partial x \equiv 0$ .

Система сильно нелинейна из-за зависимости коэффициентов переноса  $\sigma$ ,  $b$ ,  $\mu_{\pm}$ ,  $\mu_*$ ,  $\mu^*$  от  $T_+$ ,  $T_-$ . Согласно (3)

$$\sigma = RT_-^{3/2}, \quad b = R_0 T_-^{-3/2}; \quad \mu_{\pm} = T_{\pm}^{5/2} / R_{\pm}; \quad R = \frac{3k^{3/2}}{4(2\pi m_-)^{1/2} e^2 Z L \cdot 0,5129};$$

$$R_+ = \frac{4\pi^{1/2} e^4 Z^4 L}{0,96 \cdot 3m_+^{1/2} k^{5/2}}; \quad R_- = \frac{4(2\pi)^{1/2} e^4 Z L}{0,733 \cdot 3m_-^{1/2} k^{5/2}}; \quad R_0 = \frac{5m_-^{1/2} e^4 Z^3 L \rho^2}{m_+^3 k^{1/2}}.$$

В частности, имеем

$$\mu_* = (\lambda_-/R_+)T_+^{5/2} - (\lambda_+/R_-)T_-^{5/2}; \quad \mu^* = (\lambda_-^2/R_+)T_+^{5/2} + (\lambda_+^2/R_-)T_-^{5/2}.$$

**Решение уравнений для амплитуд в немагнитиченной невязкой плазме.** В случае  $H_x = 0$ ,  $\mu_{\pm} = 0$  система (11) позволяет исследовать поглощение стационарной синусоидальной волны в однородной плазме вследствие омического сопротивления и обмена энергией между плазменными компонентами ( $\sigma < +\infty$ ,  $b > 0$ ). Практически эта ситуация встречается, вероятно, редко, но с методологической точки зрения представляет несомненный интерес. В этом случае из (11) следует  $u(t) \equiv \text{const}$ , а  $h(t)$  можно считать вещественной положительной функцией. Исключая  $T_+$  посредством интеграла энергии (13), приходим к автономной системе ОДУ на плоскости  $(h, T = T_-)$ :

$$\frac{dh}{dt} = -\frac{\alpha_0 h}{T_-^{3/2}}, \quad \frac{dT_-}{dt} = \alpha_* \frac{h^2}{T_-^{3/2}} + \frac{\beta_*}{T_-^{3/2}} - \frac{\gamma_*}{T_-^{1/2}}, \quad h > 0, T_- > 0, \quad (14)$$

где константы  $\alpha_* \in \mathbb{R}$ ,  $\alpha_0, \beta_*, \gamma_* > 0$  имеют вид

$$\alpha_0 = \frac{r^2 \omega_p^2}{4\pi R(1+r^2)}, \quad \beta_* = R_0 Z a_*^2 C_0, \quad \gamma_* = (1+Z)R_0 a_*,$$

$$\alpha_* = a_* \left[ \frac{m_+}{m_{\Sigma}} \frac{r^2 \omega_p^2}{16\pi^2 R} - \frac{R_0 Z a_*(1+r^2)}{8\pi} \right].$$

Система (14) легко интегрируется. Поскольку  $dh/dt < 0$ , то  $h$  можно взять в качестве новой независимой переменной вместо времени  $t$ .

Тогда для искомой функции  $T(h)$  получим с учетом (14) линейное

уравнение  $\frac{dT}{dh} = \frac{\gamma_* T}{\alpha_0 h} - \frac{\alpha_* h^2 + \beta_*}{\alpha_0 h}$ , имеющее общее решение вида

$$T(h) = Ch^{\gamma_*/\alpha_0} + \frac{\beta_*}{\gamma_*} - \frac{\alpha_*}{2\alpha_0 - \gamma_*} h^2, \quad \gamma_* \neq 2\alpha_0, \quad (15)$$

$$T(h) = Ch^2 + \frac{\beta_*}{\gamma_*} - \frac{\alpha_*}{\alpha_0} h^2 \ln h, \quad \gamma_* = 2\alpha_0,$$

где  $C \in \mathbb{R}$  — произвольная константа. После чего зависимость  $h(t)$  находим из первого уравнения (14) квадратурой

$$-\alpha_0 t = \int \frac{T(h)^{3/2}}{h} dh, \quad (16)$$

где  $T(h)$  вычисляется по (15). Кроме того, есть еще одно решение, не охватываемое формулами (15), (16), получающееся интегрированием системы (14), где надо положить  $h \equiv 0$ :

$$-\frac{\beta_*}{\gamma_*} T^{1/2} - \frac{T^{3/2}}{3} + \frac{1}{2} \left( \frac{\beta_*}{\gamma_*} \right)^{3/2} \ln \left| \frac{\sqrt{\beta_*/\gamma_*} + T^{1/2}}{\sqrt{\beta_*/\gamma_*} - T^{1/2}} \right| = \frac{\gamma_*}{2} t + \text{const}. \quad (17)$$

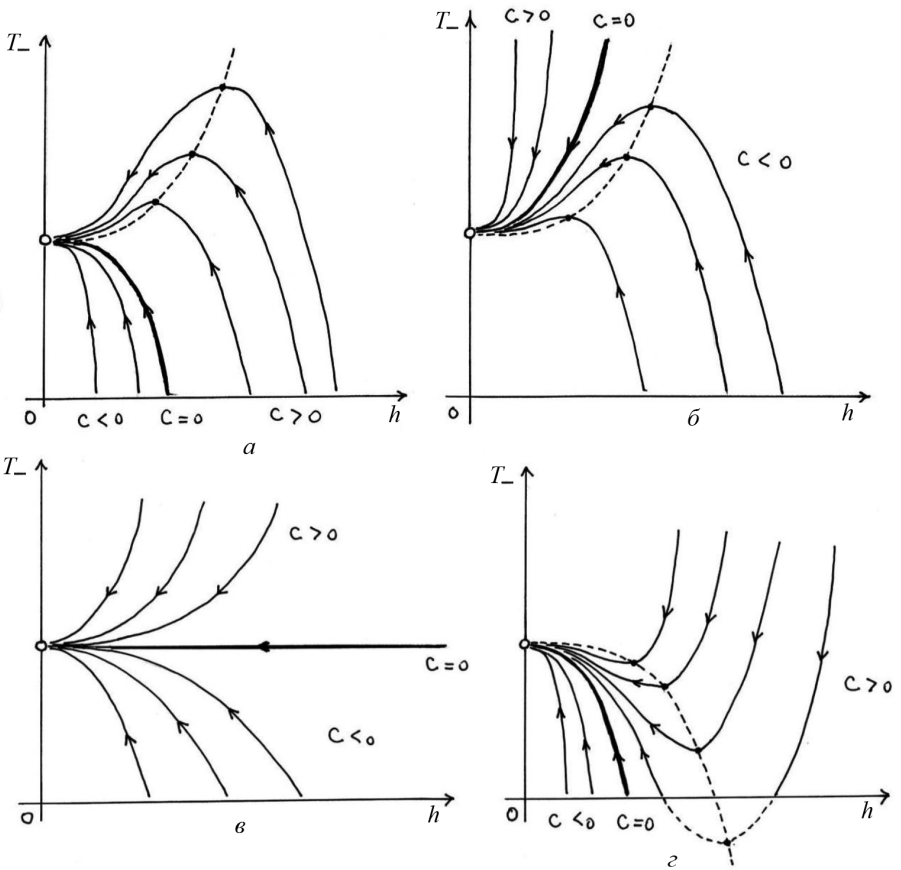
На основании (15), (16) легко построить интегральные кривые на плоскости ( $h > 0, T > 0$ ) системы (14) и детально проанализировать их расположение в зависимости от констант  $\alpha_*, \beta_*, \gamma_*, \alpha_0$  [10]. Основные выводы можно сформулировать так.

Пусть  $\theta = 2\pi R R_0 a_*/\omega_p^2 = 3,66(\gamma-1)(m_-/m_+)(1+Zm_-/m_+)/\sqrt{2\pi}$ . Тогда  $\theta \ll 1$  (для  $\gamma = 5/3$  и дейтерия  $\theta = 0,00027$ ). Разобьем альфвеновские волны на диапазоны по их длине  $\ell = 2\pi/\kappa$ : короткие волны  $\ell \leq N_1 c/\omega_p$ , средние —  $N_1 c/\omega_p < \ell \leq N_2 c/\omega_p$ , длинные —  $N_2 c/\omega_p < \ell$ , где  $N_1 = 2\pi(\theta^{-1}(1+Z)^{-1} - 1)^{1/2}$ ,  $N_2 = 2\pi(m_+ m_\Sigma^{-1} Z^{-1} \theta^{-1} - 1)^{1/2}$ ,  $c/\omega_p$  — скиновья длина. Например, для  $\gamma = 5/3$  и дейтерия границы диапазонов задаются при  $N_1 = 269$ ,  $N_2 = 380$ . Несложно проверить, что короткие волны соответствуют условиям  $\gamma_* \leq 2\alpha_0$ ,  $\alpha_0 > 0$ , средние —  $\alpha_* \geq 0$ ,  $\gamma_* > 2\alpha_0$ , длинные —  $\alpha_* < 0$ ,  $\gamma_* > 2\alpha_0$ . Интегральные кривые для коротких волн изображены на рис. 1, а, для средних — на рис. 1, б, в (рис. 1, в соответствует  $\alpha_* = 0$ ), для длинных — на рис. 1, г. Штриховой линией на этих рисунках обозначена парабола  $T_*(h) = \beta_*/\gamma_* + h^2 \alpha_*/\gamma_*$ , составленная из точек локального максимума или минимума функции  $T(h)$ . Для заданных начальных условий  $T_\pm^0 > 0$ ,  $h_0 > 0$  решение (14) задается интегральной кривой, начинающейся в точке  $(h_0, T_-^0)$  и входящей (за бесконечное время) в особую точку  $(0, T_-^* = \beta_*/\gamma_*)$  системы (14). Начальное значение  $(h_0, T_-^0)$  лежит внутри криволинейного треугольника, ограниченного осями  $h = 0$ ,  $T_- = 0$  и кривой  $T_{\text{гр}}(h) = a_* C_0 - (1+r^2)a_* h^2/(8\pi)$ , на которой ионная температура обращается в нуль, где константа  $C_0$  вычисляется по  $T_\pm^0$ ,  $h_0$  посредством формулы (13) с  $u(t) \equiv 0$ . Несложно установить, что интегральная кривая, начинающаяся в точке  $(h_0, T_-^0)$ , при  $t \geq 0$  все время остается внутри криволинейного треугольника; в частности, в каждый момент времени температуры электронов и ионов положительные.

Как следует из рис. 1, при затухании альфвеновской волны энергия магнитного поля полностью переходит в тепловую энергию электронов и ионов, при этом изменение самих тепловых энергий электронов и ионов может иметь немонотонный характер, что свидетельствует об обмене энергией между плазменными компонентами.

### Релаксация температур и поглощение альфвеновской волны.

Поглощение альфвеновской волны состоит в трансформации ее кинетической ( $\varepsilon_{kin} = \rho |u(t)|^2/2$ ) и полной (с учетом кинетической энергии относительного движения электронов) магнитной ( $\varepsilon_m = (1 + r^2)|h(t)|^2/8\pi$ ) энергий в тепловую энергию электронов и ионов  $\varepsilon_- = T_-/a_*$ ,  $\varepsilon_+ = T_+/(Za_*)$ . Этот процесс налагается на релаксацию температур электронов и ионов, определяемую коэффициентом  $b$ . Как



**Рис. 1.** Интегральные кривые для коротких волн (а) ( $\gamma_* \leq 2\alpha_0, \alpha_0 > 0$ ); средних волн (б) ( $\gamma_* > 2\alpha_0, \alpha_* > 0$ ); средних волн (в) ( $\gamma_* > 2\alpha_0, \alpha_* = 0$ ); длинных волн (г) ( $\gamma_* > 2\alpha_0, \alpha_* < 0$ )

показало численное решение задачи Коши (11), (12), поглощение альфвеновской волны распадается на два этапа. На первом происходит быстрое преобразование магнитной и в значительной мере кинетической энергии альфвеновской волны в тепловую энергию преимущественно электронов, на втором — в основном медленная релаксация температур, аппроксимируемая решением системы (11) с  $h = 0, u = 0$ , имеющая вид (17), при этом остатки кинетической энергии волны переходят в тепловую энергию. Особенности процесса поглощения на втором этапе рассмотрены в следующем пункте.

Равновесная температура  $T^0$  находится из закона сохранения энергии (13) и имеет вид

$$T^0 = \frac{T_0^+ + ZT_0^-}{1 + Z} + \frac{Z}{1 + Z} \cdot \frac{\lambda_\Sigma e(\gamma - 1)}{k} \left\{ \frac{|u_0|^2}{2} + \frac{|h_0|^2}{8\pi\rho} \left[ 1 + \left( \frac{\kappa C}{\omega_p} \right)^2 \right] \right\}, \quad r = \frac{\kappa C}{\omega_p}.$$

В частности, равновесная температура не зависит от замагниченности плазмы  $H_x$ , но зависит от ее плотности и длины  $\ell = 2\pi/\kappa$  альфвеновской волны. Отсюда следует, что поглощение коротких ( $r \gg 1$ ) альфвеновских волн приводит к сильному разогреву плазмы. Скорость поглощения волны резко возрастает при учете гидродинамических вязкостей электронов и ионов или уменьшении длины волны. С другой стороны, поглощение кинетической энергии существенно зависит от сдвига фаз начальных амплитуд  $u_0$  и  $h_0$ .

Из безразмерного вида системы (11) следует, что задача о временном поглощении альфвеновских волн имеет два определяющих безразмерных параметра, пропорциональных  $(\ell\rho)^{-1}$  и  $\rho^{5/2}/H_x^4$ :

$$r = \frac{\kappa c}{\omega_p} = \frac{c\lambda_+\lambda_-}{2\rho\ell}; \quad \zeta = 0,386LZ^3 \frac{ce^3}{m_+^2} \frac{(4\pi\rho)^{5/2}}{H_x^4} \left(1 + Z \frac{m_-}{m_+}\right)^{-3/2}. \quad (18)$$

На рис. 2 приведены типичные зависимости от времени тепловых энергий электронов и ионов, магнитной и кинетической энергии для варианта  $r = 0,1$ ,  $\zeta = 100$ ,  $T_+^0 = 0,01$ ,  $T_-^0 = 1$ ,  $h_0 = 4$ ,  $u_0 = 1$ . При этом

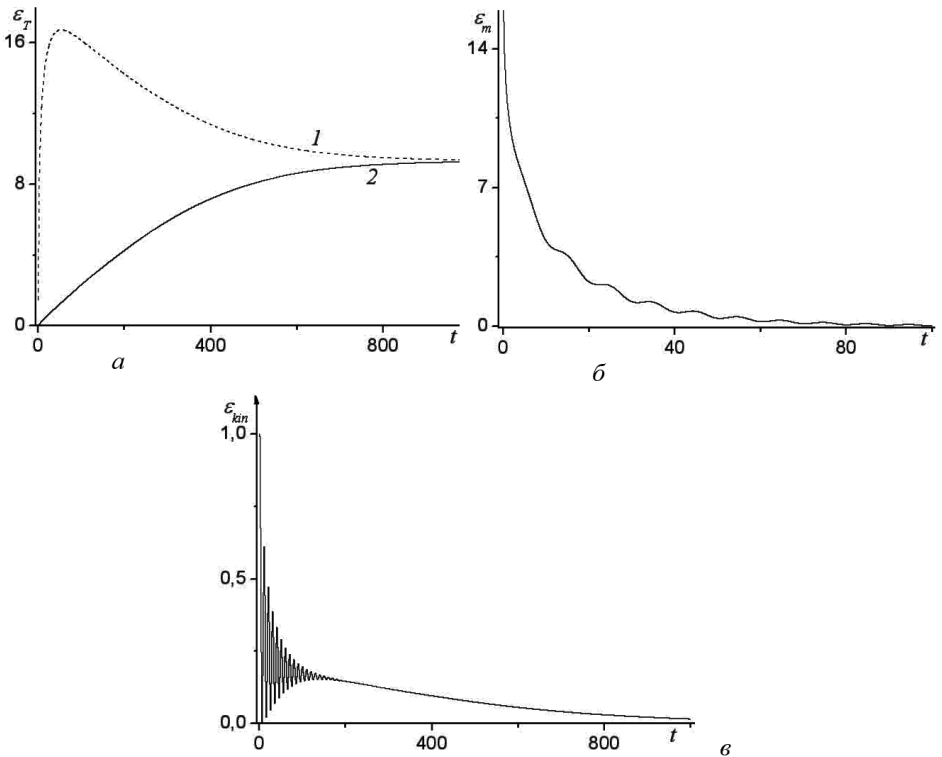


Рис. 2. Зависимость от времени тепловой энергии электронов (1) и ионов (2) в альфвеновской волне (а), магнитной энергии альфвеновской волны (б) и кинетической энергии альфвеновской волны (в)

в качестве характерных масштабов плотности, напряженности магнитного поля, скорости, длины, времени, плотности энергии и температуры выбирались величины  $\rho_0 = \rho$ ,  $H_0 = H_x$ ,  $U_0 = v_A$ ,  $L_0 = c/\omega_p$  (скиновская длина),  $t_0 = (\omega_c^+ \omega_c^-)^{-1/2}$ ,  $\varepsilon_0 = H_0^2/(8\pi)$ ,  $T_0 = v_A^2 \lambda_{\Sigma e}/(2k)$ . Как видно, поглощение магнитной энергии волны происходит значительно быстрее, чем кинетической, и сопровождается взаимным обменом кинетической и магнитной энергиями (колебания на графиках, обусловленные преобразованием энергии в альфвеновской волне). Кроме того, поглощенная энергия альфвеновской волны преобразуется прежде всего в тепловую энергию электронов, которые затем отдают ее ионам благодаря механизму релаксации.

Графики на рис. 2 соответствуют  $\mu_{\pm} = 0$ . Если учесть гидродинамическую вязкость ионов, то процесс поглощения резко ускоряется, например магнитная энергия поглощается за время  $\sim (\omega_c^+ \omega_c^-)^{-1/2}$ . При дополнительном учете электронной вязкости, вычисляемой по (3), процесс поглощения еще более ускоряется, занимая доли  $(\omega_c^+ \omega_c^-)^{-1/2}$ , а энергия магнитного поля поглощается за время  $\sim 10^{-2} (\omega_c^+ \omega_c^-)^{-1/2}$ .

Из безразмерного вида (11) следует, что для  $\zeta \gg 1$  определяющим фактором поглощения альфвеновской волны является магнитная вязкость, а при  $\zeta \ll 1$  — гидродинамические вязкости электронов и ионов, причем в этом случае их превалирующая роль в поглощении с увеличением температур электронов и ионов только возрастает, поскольку  $\mu_{\pm} \sim T_{\pm}^{5/2}$ ,  $\mu_m = \frac{c^2}{4\pi\sigma} \sim T_-^{3/2}$ . Кроме того, короткие волны ( $r \gg 1$ ) поглощаются намного быстрее длинных ( $r \ll 1$ ). Детальный анализ этих закономерностей зависит от соотношения  $r : \zeta$  и выходит за рамки настоящей работы.

**Релаксация температур и особые точки.** Математическая основа процесса релаксации — наличие особой точки у системы (11), если исключить в ней из числа неизвестных температуру ионов  $T_+$  посредством интеграла энергии (13). Эта единственная особая точка в безразмерных переменных имеет вид  $u = 0$ ,  $h = 0$ ,  $T = T^0 = Z(\gamma - 1)C_0/(1 + Z)$ , где  $C_0 = |u_0|^2 + |h_0|^2(1 + r^2) + T_+^0/(Z(\gamma - 1)) + T_-^0/(\gamma - 1)$  — значение безразмерного интеграла энергии, определяемого начальными условиями.

Запишем систему (11) в безразмерном виде:

$$\begin{aligned} \frac{du}{dt} &= r \left( i + \frac{r^2}{\zeta} \alpha_1^0 \right) h + \frac{r^2}{\zeta} \beta_1^0 u; \\ \frac{dh}{dt} &= \frac{r}{1 + r^2} \left\{ \left( i + \frac{r^2}{\zeta} \alpha_1^0 \right) u + \left( -\frac{\zeta}{T_-^{3/2}} + i\Lambda + \frac{r^2}{\zeta} \beta_2^0 \right) h \right\}; \quad (19) \end{aligned}$$

$$\frac{dT_{\pm}}{dt} = 2Z_{\pm}(\gamma - 1) \left\{ \frac{m_{\mp} r^2 \zeta |h|^2}{m_{\Sigma} T_{\pm}^{3/2}} \pm \zeta \eta^0 \frac{(T_{-} - T_{+})}{T_{\pm}^{3/2}} + \right. \\ \left. + \alpha_{\pm}^{\pm} \left[ \frac{r^2}{\zeta} |u|^2 + \frac{r^4 \lambda_{\mp}}{\zeta \lambda_{\pm}} |h|^2 \mp \frac{r^3}{\zeta} \left( \frac{\lambda_{\mp}}{\lambda_{\pm}} \right)^{1/2} (\bar{u}h + u\bar{h}) \right] \right\},$$

где  $\zeta$  — число подобия, вычисляемое по (18), величины  $\alpha_1^0, \beta_1^0, \beta_2^0$  зависят от температур  $T_{\pm}$  и вычисляются по формулам

$$\alpha_1^0 = \alpha_2^+ \left( \frac{\lambda_-}{\lambda_+} \right)^{1/2} - \alpha_2^- \left( \frac{\lambda_+}{\lambda_-} \right)^{1/2}, \quad \beta_1^0 = -(\alpha_2^+ + \alpha_2^-), \\ \beta_2^0 = \frac{\lambda_-}{\lambda_+} \alpha_2^+ - \frac{\lambda_+}{\lambda_-} \alpha_2^-, \quad \alpha_2^{\pm} = \frac{T_{\pm}^{5/2}}{R_{\pm}}.$$

Наконец  $\eta^0, R_{\pm}$  — универсальные константы:

$$\eta^0 = 1,46 \frac{m_-}{m_+} \left( 1 + Z \frac{m_-}{m_+} \right), \quad R_+ = 2,87 \left( \frac{m_-}{m_+} \right)^{1/2} Z^3 \left( 1 + Z \frac{m_-}{m_+} \right)^{-1}, \\ R_- = 5,313 \left( 1 + Z \frac{m_-}{m_+} \right)^{-1}.$$

Релаксация температур электронов и ионов на второй стадии поглощения аппроксимируется решением системы (19) в предположении  $h = 0, u = 0$ . Для более детального исследования релаксация и получения количественных оценок необходимо изучить поведение решений (19) в окрестности особой точки.

Матрица Якоби системы (19), в которой исключена ионная температура  $T_+ = Z(\gamma - 1)[C_0 - (1 + r^2)|h|^2 - |u|^2] - ZT_-$  в особой точке  $(T^0, 0, 0, 0, 0)$  имеет вид

$$J = \text{diag} \left\{ -\frac{2(\gamma - 1)\eta(1 + Z)}{(T^0)^{3/2}}, J^0 \right\},$$

где  $J^0 = \|J_{js}^0\|, 1 \leq j, s \leq 2 - 2 \times 2$ -блочная матрица с  $2 \times 2$ -блоками:

$$J_{11}^0 = \begin{pmatrix} \beta_1 & 0 \\ 0 & \beta_1 \end{pmatrix}, \quad J_{12}^0 = \begin{pmatrix} \alpha_1 & -r \\ r & \alpha_1 \end{pmatrix}, \quad J_{21}^0 = \frac{r}{1 + r^2} \begin{pmatrix} \alpha_2 & -1 \\ 1 & \alpha_2 \end{pmatrix}, \\ J_{22}^0 = \frac{1}{1 + r^2} \begin{pmatrix} \beta_0 & -\Lambda r^2 \\ \Lambda r^2 & \beta_0 \end{pmatrix},$$

где  $\beta_0 = r \left( \beta_2 - \frac{\zeta r}{(T^0)^{3/2}} \right), \quad \alpha_1 = \frac{r^3}{\zeta} \alpha_1^0, \quad \beta_1 = \frac{r^2}{\zeta} \beta_1^0, \quad \beta_2 = \frac{r^2}{\zeta} \beta_2^0$ .

Очевидно, что  $\lambda_0 = -2(\gamma - 1)\eta(1 + Z)/(T^0)^{3/2}$  — собственное число

Ж. Остальные собственные числа являются собственными числами  $J^0$ .  
 Прямое вычисление дает

$$\det(J^0 - \lambda I_4) = \frac{1}{(1+r^2)^2} \{[(\beta_1 - \lambda)(\beta_0 - \lambda(1+r^2)) + r^2 - \alpha_1^2]^2 + [(\beta_1 - \lambda)\Lambda r^2 - 2\alpha_1 r]^2\},$$

где  $I_4$  — единичная матрица четвертого порядка. Поэтому для нахождения собственных чисел  $J^0$  имеем два квадратных уравнения:

$$\lambda^2(1+r^2) - \lambda[\beta_0 + \beta_1(1+r^2) \pm i\Lambda r^2] + \beta_1\beta_0 + r^2 - \alpha_1^2 \pm i(\beta_1\Lambda r^2 - 2\alpha_1 r) = 0. \quad (20)$$

Несложный анализ уравнения (20) показывает, что: а) каждое из уравнений (20) не имеет вещественных, сопряженных или кратных корней; б) если  $\lambda_1 \neq \lambda_2$  — корни (20) для верхнего знака, то  $\bar{\lambda}_1 \neq \bar{\lambda}_2$  — корни (20) для нижнего знака; в) все корни (20) имеют отрицательные вещественные части; г) все собственные числа матрицы Якоби  $J$  однократные и имеют вид  $\{\lambda_0, \lambda_1, \lambda_2, \bar{\lambda}_1, \bar{\lambda}_2\}$  и есть базис  $\mathbb{C}^5$ , состоящий из собственных векторов матрицы Якоби.

В частности, единственная особая точка системы (19) — притягивающий устойчивый многомерный узел и по теореме Гробмана–Хартмана [11] в некоторой окрестности особой точки топология интегральных кривых системы (19) и ее линеаризации в особой точке совпадают. Таким образом, качественная картина релаксации правильно описывается линеаризацией системы (19) в особой точке  $(T^0, 0, 0, 0, 0)$ , решения которой несложно получить в явном виде.

Рассмотрим линеаризованную систему

$$(\dot{T}, \dot{u}_1, \dot{u}_2, \dot{h}_1, \dot{h}_2)^* = J(T, u_1, u_2, h_1, h_2)^*, \quad (21)$$

где звездочка означает транспонирование, а точка — дифференцирование по  $t$ . Пусть  $\lambda_1 \neq \lambda_2$  — корни характеристического уравнения (20) для верхнего знака,  $x_j + iy_j \neq 0$  — собственный вектор  $J$ , отвечающий значению  $\lambda_j$ ,  $j = 1, 2$ . Тогда, как известно, линейная оболочка  $V_j = [x_j, y_j]$  является двумерным инвариантом подпространства  $\mathbb{R}^5$  для оператора  $J$ , причем если  $\lambda_j = a_j + ib_j$ ,  $j = 1, 2$ , то

$$Jx_j = a_j x_j - b_j y_j, \quad Jy_j = a_j y_j + b_j x_j, \quad j = 1, 2.$$

Если  $x_0 = (1, 0, 0, 0, 0)$ , то  $V_0 = [x_0]$  — собственное подпространство, отвечающее значению  $\lambda_0$ , а  $\mathbb{R}^5$  распадается в прямую сумму  $\mathbb{R}^5 = V_0 \oplus V_1 \oplus V_2$ . В частности,  $\{x_0, x_1, y_1, x_2, y_2\}$  — базис  $\mathbb{R}^5$ , матрица оператора  $J$  в котором равна

$$\text{diag} \left\{ 1, \begin{pmatrix} a_1 & b_1 \\ -b_1 & a_1 \end{pmatrix}, \begin{pmatrix} a_2 & b_2 \\ -b_2 & a_2 \end{pmatrix} \right\}.$$



Поэтому если  $(z_0, z_1, z_2, z_3, z_4)$  — координаты вектора из  $\mathbb{R}^5$  в базисе  $\{x_0, x_1, y_1, x_2, y_2\}$ , то линейная система (21) в этих координатах распадается на три независимые подсистемы:

$$\begin{aligned} \dot{z}_0 &= \lambda_0 z_0, & \dot{z}_1 &= a_1 z_1 + b_1 z_2, & \dot{z}_3 &= a_2 z_3 + b_2 z_4 \\ \dot{z}_2 &= -b_1 z_1 + a_1 z_2, & \dot{z}_4 &= -b_2 z_3 + a_2 z_4, \end{aligned}$$

решение которых, очевидно, имеет вид:

$$z_0(t) = D_0 e^{\lambda_0 t}, \quad \begin{aligned} (z_1(t), z_2(t)) &= D_1 e^{a_1 t} (\cos(\varphi_1 - b_1 t), \sin(\varphi_1 - b_1 t)) \\ (z_3(t), z_4(t)) &= D_2 e^{a_2 t} (\cos(\varphi_2 - b_2 t), \sin(\varphi_2 - b_2 t)), \end{aligned} \quad (22)$$

где  $D_0, D_1, D_2, \varphi_1, \varphi_2$  — произвольные вещественные константы.

Выше отмечалось, что  $\lambda_0, a_1, a_2 < 0$ , поэтому из (22) следует, что проекция любого решения линеаризованной системы (21) на двумерную плоскость  $V_j, j = 1, 2$ , есть спираль, наматывающаяся на точку 0 с угловой скоростью  $b_j$  и декрементом убывания расстояния от начала отсчета  $|a_j|$ . Из (22) следует разложение

$$(u(t), h(t))^* = \sum_{j=1}^2 D_j e^{a_j t} (\cos(\varphi_j - b_j t) x_j + \sin(\varphi_j - b_j t) y_j).$$

В частности, декременты экспоненциального стремления к 0 величин  $u(t), h(t)$  равны  $\min\{|a_1|, |a_2|\}$ . Выпишем явные выражения для  $x_j, y_j, a_j, b_j$ . Положим

$$\begin{aligned} x_j &= \left( 0, \frac{r(\beta_1 - a_j) - \alpha_1 b_j}{(\beta_1 - a_j)^2 + b_j^2}, -\frac{r b_j + \alpha_1(\beta_1 - a_j)}{(\beta_1 - a_j)^2 + b_j^2}, 0, 1 \right), \\ y_j &= \left( 0, \frac{r b_j + \alpha_1(\beta_1 - a_j)}{(\beta_1 - a_j)^2 + b_j^2}, \frac{r(\beta_1 - a_j) - \alpha_1 b_j}{(\beta_1 - a_j)^2 + b_j^2}, -1, 0 \right). \end{aligned}$$

Тогда легко проверить, что  $x_j + i y_j$  — собственный вектор  $J$  для собственного значения  $\lambda_j = a_j + i b_j, j = 1, 2$ , причем  $x_j \perp y_j$  и  $\|x_j\| = \|y_j\| = \left( 1 + \frac{\alpha_1^2 + r^2}{(\beta_1 - a_j)^2 + b_j^2} \right)^{1/2}$ . Решая квадратное уравнение (20) для верхнего знака и используя формулу для извлечения квадратного корня из комплексного числа, получаем

$$\begin{aligned} a_{1,2} &= \frac{1}{2(1+r^2)} \left\{ \beta_0 + \beta_1(1+r^2) \pm \left[ \frac{\sqrt{A^2 + B^2} + A}{2} \right]^{1/2} \right\}, \\ b_{1,2} &= \frac{1}{2(1+r^2)} \left\{ \Lambda r^2 \pm \operatorname{sgn} B \left[ \frac{\sqrt{A^2 + B^2} - A}{2} \right]^{1/2} \right\}, \end{aligned}$$

где

$$A = [\beta_0 - \beta_1(1 + r^2)]^2 - \Lambda^2 r^4 - 4(1 + r^2)(r^2 - \alpha_1^2),$$

$$B = 2[\Lambda r^2(\beta_0 + \beta_1(1 + r^2)) - 2(1 + r^2)(\beta_1 \Lambda r^2 - 2\alpha_1 r)].$$

Эти громоздкие формулы упрощаются в частных и предельных случаях.

При  $r \gg 1$  (короткие волны) имеем асимптотику, считая  $h_0 \neq 0$ ,  $\mu_{\pm} \neq 0$ :

$$a_{1,2} \sim \left( \frac{Z(\gamma - 1)}{1 + Z} \right)^{5/2} |h_0|^5 r^7 \frac{\lambda_{\Sigma}}{\lambda_{\pm} \zeta R_{\pm}}; \quad (23)$$

$$b_{1,2} \sim \frac{1}{2} \left\{ \Lambda \pm \frac{\Lambda R^* - \Lambda R_{\Sigma} - 4R_*}{\lambda_{\Sigma}(\lambda_+^{-1} R_+^{-1} - \lambda_-^{-1} R_-^{-1})} \right\},$$

где  $R^* = (\lambda_-/\lambda_+)R_+^{-1} + (\lambda_+/\lambda_-)R_-^{-1}$ ,  $R_{\Sigma} = R_+^{-1} + R_-^{-1}$ ,  $R_* = (\lambda_-/\lambda_+)^{1/2}R_+^{-1} + (\lambda_+/\lambda_-)^{1/2}R_-^{-1}$ , причем верхние и нижние знаки в (23) соответствуют друг другу.

При  $r \ll 1$  (длинные волны) имеем асимптотику

$$a \sim -\frac{r^2 \zeta}{2A_0^{3/2}} [1 + R_{\Sigma} A_0^4],$$

$$A_0 = \frac{Z(\gamma - 1)}{Z + 1} \left[ \frac{T_+^0}{Z(\gamma - 1)} + \frac{T_-^0}{\gamma - 1} + |h_0|^2 + |u_0|^2 \right],$$

$$b \sim \pm r.$$

Формулы для  $a_j$ ,  $b_j$  значительно упрощаются при  $\mu_{\pm} = 0$  и в МГД-пределе [10].

**Сравнение с линейной теорией.** Пусть  $\rho = \rho_0$ ,  $U_x = 0$ ,  $T_+ = T_- = T_0$ ,  $H_{\perp} = 0$ ,  $U_{\perp} = 0$ ,  $E_{\perp} = 0$  — константное решение системы (4). Рассмотрим приближенное решение (4) вида

$$\rho = \rho_0 + \rho e^{i(kx - \omega t)}, \quad U_x = U_x e^{i(kx - \omega t)}, \quad T_{\pm} = T_0 + T_{\pm} e^{i(kx - \omega t)}; \quad (24)$$

$$H_{\perp} = H_{\perp} e^{i(kx - \omega t)}, \quad U_{\perp} = U_{\perp} e^{i(kx - \omega t)}, \quad E_{\perp} = E_{\perp} e^{i(kx - \omega t)},$$

где постоянные комплексные величины  $\rho$ ,  $U_x$ ,  $T_{\pm}$ ,  $H_{\perp}$ ,  $U_{\perp}$ ,  $E_{\perp}$  в правых частях (24) (комплексные амплитуды) считаются малыми. Подставляя функции (24) в систему (4) и отбрасывая слагаемые выше первого порядка малости по комплексным амплитудам, получим линейную систему уравнений для нахождения комплексных амплитуд и дисперсионного соотношения между  $\omega$  и  $\kappa$ . В итоге получим

$$\rho = 0, \quad U_x = 0, \quad T_{\pm} = 0 \quad (25)$$

(соотношения между  $H_{\perp}$ ,  $U_{\perp}$ ,  $E_{\perp}$  более сложные, мы их не приводим), а комплексное  $\omega$  находится по  $\kappa$  из квадратного дисперсионного уравнения

$$(1 + r^2)\omega^2 + i\omega\kappa^2 \left\{ \mu_m + \frac{\mu_\Sigma}{\rho_0} + r^2 \frac{\lambda_\Sigma}{\rho_0} \left( \frac{\mu_+}{\lambda_+} + \frac{\mu_-}{\lambda_-} \right) - \frac{i\Lambda_{VAC}}{\omega_p} \right\} -$$

$$-\frac{\mu_\Sigma}{\rho_0} \kappa^4 \left\{ \mu_m + \frac{r^2}{\rho_0} \left( \frac{\lambda_-}{\lambda_+} \mu_+ + \frac{\lambda_+}{\lambda_-} \mu_- \right) - \frac{i\Lambda_{VAC}}{\omega_p} \right\} + \frac{\kappa^2 c^2}{4\pi\rho_0} \left( \frac{iH_x}{c} + \frac{\mu_* \kappa^2}{\rho_0} \right)^2 = 0.$$

В бездиссипативном случае это уравнение переходит в (8). Нетрудно проверить, что оба решения имеют отрицательные действительные части. Поэтому все параметры плазмы (24) затухают с одинаковыми скоростями. В частности, если  $\omega = \omega_1 - i\omega_2$ ,  $\omega_2 > 0$ , то декремент затухания равен  $\omega_2$  и энергия магнитного поля  $|H_\perp|^2 = |H_\perp|^2 e^{-2\omega_2 t}$  и кинетическая энергия  $|U_\perp|^2 = |U_\perp|^2 e^{-2\omega_2 t}$  затухают одинаково. Это, однако, противоречит полученному результату. С другой стороны, из (25) следует, что релаксация температур не может быть исследована на базе линейной теории.

*Работа выполнена при финансовой поддержке РФФИ (грант № 12-01-00071).*

## СПИСОК ЛИТЕРАТУРЫ

1. Альфвен Х., Фельтхаммар К. -Г. Космическая электродинамика. – М.: Мир, 1967. – 260 с.
2. Ландау Л. Д., Лифшиц Е. М. Электродинамика сплошных сред. – М.: Наука, 1982.
3. Брагинский С. И. Явления переноса в плазме // Вопросы теории плазмы / Под ред. М.А. Леонтовича. – М.: Госатомиздат, 1963. Вып. 1. – С. 183–272.
4. Гавриков М. Б. Основные уравнения двухжидкостной магнитной гидродинамики. Часть I. Препринт № 59. – М.: ИПМ им. М.В. Келдыша РАН. – 2006. – 28 с.
5. Гавриков М. Б., Сорокин Р. В. Однородные деформации двухжидкостной плазмы с учетом инерции электронов // Изв. РАН МЖГ. – 2008. – Т. 6. – С. 156–169.
6. Спитцер Л. Физика полностью ионизованного газа. – М.: Мир, 1965. – 212 с.
7. Чэпмен С., Каулинг Т. Математическая теория неоднородных газов. – М.: ИЛ, 1960.
8. Имшеник В. С. // Астрономический журнал. – 1961. – 38. – С. 652.
9. Ландау Л. Д. // ЖЭТФ. – 1937. – Т. 7. – С. 203.
10. Гавриков М. Б., Таярский А. А. Нелинейное поглощение альфвеновской волны в диссипативной плазме. Препринт № 68. – М.: ИПМ им. М.В. Келдыша РАН. – 2011. – 28 с.
11. Хартман Ф. Обыкновенные дифференциальные уравнения. – М.: Мир, 1970. – 720 с.

Статья поступила в редакцию 23.04.2012